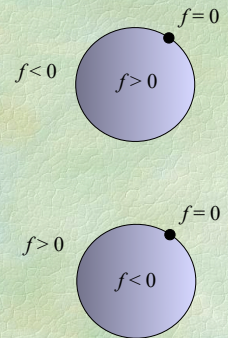


Surfaces implicites

Master IVI,
module M3DA, cours 4

definition

- Fonction réelle $f(x,y,z)$
- Fourni une classification des points de l'espace
- Exemple de classification (en IS)
 - intérieur $f > 0$
 - extérieur $f < 0$
 - surface $f = 0$
- En CAO: intérieur $f < 0$, extérieur $f > 0$



Intérêt de l'implicite

- Par rapport aux polygones
 - Continuité de surface garantie
 - représentation compacte, moins de primitives haut niveau
 - Plus délicat à afficher en temps réel
- Par rapport aux patches polygonaux
 - Plus faciles à mélanger
 - Plus de pb de topologie
 - Degré d'évaluation souvent plus faible
 - Plus difficile à paramétrer
 - Plus facile à visualiser en lancer de rayon



conversion

- Implicitisation: parametric \rightarrow implicit
 - Trouver f à partir de $p(s,t)$ telle que $f(p(s,t)) = 0$
 - Utilisation des résultants [Sederberg 83]
 - Technique des « moving surfaces » (level sets)
 - Problème: polygones??
- Paramétrisation: implicite \rightarrow paramétrique
 - trouver p étant donné f tel que $f(p(s,t)) = 0$
 - Crée patches paramétriques
 - Polygonization
 - Texture mapping

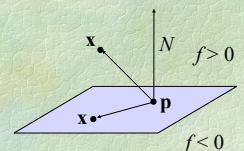
Normales à la surface

- Donnée par le gradient de f

$$\nabla f(x,y,z) = (\partial f / \partial x, \partial f / \partial y, \partial f / \partial z)$$
- Gradient non unitaire
- Gradient pointe dans la direction des f croissants
 - Vers l'extérieur si $f < 0$ désigne l'intérieur
 - Vers l'intérieur si $f > 0$ désigne l'intérieur

Exemple: un plan

- Plan vu comme limite d'un demi-espace
- Plan défini par un point p et une normale N
- Points x du plan sont tous orthogonaux à N
- f est une fonction de distance si $\|N\| = 1$



$$f(x) = (x-p) \cdot N$$

Quadriques

$$f(x,y,z) = Ax^2 + 2Bxy + 2Cxz + 2Dx + Ey^2 + 2Fyz + 2Gy + Hz^2 + 2Iz + J$$

- Ellipsoïde (Sphere): $Ax^2 + Ey^2 + Hz^2 - 1 = 0$
- Cylindre: $Ax^2 + Ey^2 - 1 = 0$
- Hyperboloïde (Cone): $Ax^2 + Ey^2 - Hz^2 + J = 0$
- Paraboloïde: $Ax^2 + Ey^2 - 2Iz = 0$

Quadriques en coordonnées homogènes

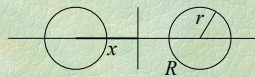
$$\boxed{f(\mathbf{x}) = \mathbf{x}^T Q \mathbf{x}} \quad f(x,y,z) = \begin{bmatrix} x & y & z & 1 \end{bmatrix} \begin{bmatrix} A & B & C & D \\ B & E & F & G \\ C & F & H & I \\ D & G & I & J \end{bmatrix} \begin{bmatrix} x \\ y \\ z \\ 1 \end{bmatrix}$$

Homogeneous coordinates

- $[x \ y \ z \ w]$
- Divide by w to find actual coords: $[x/w \ y/w \ z/w \ 1]$

Intérêt: transformations:
 $\mathbf{x} Q \mathbf{x}^T = 0, \quad \mathbf{x}' = \mathbf{x} T$
 trouver Q' tq $\mathbf{x}' Q' \mathbf{x}'^T = 0$
 $\mathbf{x} = \mathbf{x}' T^*$
 $\mathbf{x}' T^* Q (\mathbf{x}' T^*)^T = 0$
 $\mathbf{x}' (T^* Q T^{*T}) \mathbf{x}'^T = 0$
 $Q' = T^* Q T^{*T}$

Tore



2 étapes:

- Produit de deux cercles implicites
 $(x - R)^2 + z^2 - r^2 = 0$
 $(x + R)^2 + z^2 - r^2 = 0$
 $((x - R)^2 + z^2 - r^2)((x + R)^2 + z^2 - r^2) = 0$
 $(x^2 - Rx + R^2 + z^2 - r^2)(x^2 + Rx + R^2 + z^2 - r^2) = 0$
 $x^4 + 2x^2z^2 + z^4 - 2x^2r^2 - 2z^2r^2 + r^4 + 2x^2R^2 + 2z^2R^2 - 2r^2R^2 + R^4 = 0$
 $(x^2 + z^2 - r^2 - R^2)^2 + 4z^2R^2 - 4r^2R^2 = 0$
- Surface de rotation
 on remplace x^2 par $x^2 + y^2$ pour avoir rotation autour de z
 $f(x,y,z) = (x^2 + y^2 + z^2 - r^2 - R^2)^2 + 4R^2(z^2 - r^2)$

Déformations

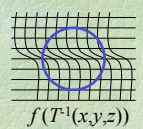
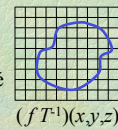
- f défini dans l'espace non déformé

- Transformations affines

- Scale: (ax, by, cz)
- étirement: $(x + ay + bz, y + cz, z)$

- Non-Affine (Barr S84)

- Ecrasement (taper): $(z \ x, z \ y, z)$
- Twist: $(x \cos z - y \sin z, x \sin z + y \cos z, z)$
- Courbure (bend)

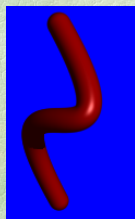


Surfaces de distances

- Sphere: $d(\mathbf{x}, \text{point}) - r$
- Cylindre: $d(\mathbf{x}, \text{ligne}) - r$
- Cylindre fini: $d(\mathbf{x}, \text{segment}) - r$
- Tore: $d(\mathbf{x}, \text{cercle}) - r$
- Cylindre généralisé: $d(\mathbf{x}, \text{courbe}) - r$
- Décalage de surface: $d(\mathbf{x}, \text{surface}) - r$

$$d(\mathbf{x}, A) = \min \{ \|\mathbf{x} - \mathbf{y}\| : \mathbf{y} \in A \}$$

Nb: offset à partir de paramétrique ne génère pas forcément une surface paramétrique

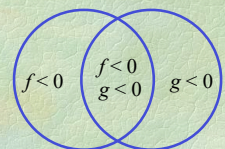


CSG

- Hypothèse: $f < 0$ à l'intérieur
- CSG par opération min/max:

- Union: $\min f, g$
- Intersection: $\max f, g$
- Complement: $\neg f$
- Soustraction: $\max f, \neg g$

- Problème: discontinuité C^1
- Peut-on lisser les zones de mélange?



Mélange (blend)

- Surface lisse qui interpole deux surfaces séparées
- utilisation:
 - Image de synthèse: Blobs, soft objects, metaballs
 - CAO: surfaces algébriques, Pseudonorme
- portée
 - Globale: modifie toute la surface
 - Locale: modifie une région donnée

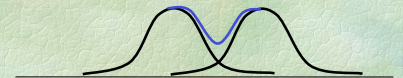
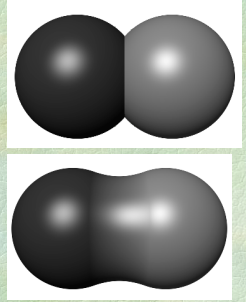


Blobs

- Blinn 1982
- Somme de gaussiennes

$$r_i^2(x,y,z) = x^2 + y^2 + z^2$$

$$f(x) = -1 + \sum \exp(-(B/R_i^2)r_i^2 + B_i)$$
 B – “blobbiness” (coef. positif)
 R – rayon du blob au repos
 r – rayon de la fonction



Soft Objects

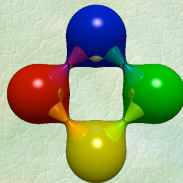
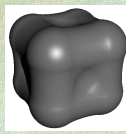
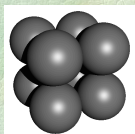
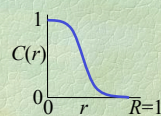
- Wyvill, McPheeters & Wyvill 86
- Exponentielle: couteuse, non locale
- Approximation polynomiale de $\exp(-r^2)$

$$C(0) = 1, C(R) = 0, C'(0) = 0, C'(R) = 0$$

$$C(r^2) = -(4/9)r^6/R^6 + (17/9)r^4/R^4 - (22/9)r^2/R^2 + 1$$

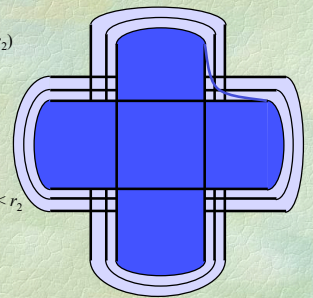
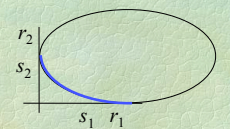
$$C(r) = 2r^3/R^3 - 3r^2/R^2 + 1$$

$$C(r) = (1 - r^2/R^2)^3 \quad (\text{continuité } G^2)$$



Mélanges algébriques

- Hoffman & Hopcroft 85
- Mélanger $f^{-1}(0)$ avec $g^{-1}(0)$
- On considère $f^{-1}(s_1), g^{-1}(s_2)$
- Mélange quand $f^{-1}(s_1)$ intersecte $g^{-1}(s_2)$
- Défini h tel que $h(s_1, s_2) = 0$
- $h(s_1, s_2) = (s_1 - r_1)^2/r_1^2 + (s_2 - r_2)^2/r_2^2 - 1$ (ellipse)
- Mélange: $H(x) = h(f(x), g(x))$
- Si f, g quadriques, alors H quartique, généralement tore
- Evaluation du mélange: si $f < r_1$ et $g < r_2$ alors H sinon min f, g



Conséquence sur normales

- $H(x) = h(f(x), g(x))$
- $h(f, g) = A(f) + B(g) + C$, classiquement
- $\nabla H = A'(f) \nabla f + B'(g) \nabla g$
- Ex: mélange algébrique
 - $h(f, g) = (f-a)^2/a^2 + (g-b)^2/b^2 - 1$
 - $\nabla H = (2(f-a)/a^2) \nabla f + (2(g-b)/b^2) \nabla g$

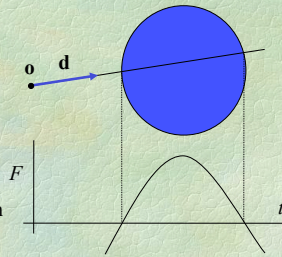
Hypertexture

- Bruit
 - Perlin S85
 - Interpolation de valeurs pseudo-aléatoires
- Déformation du bruit
 - $f(x, y, z) + N(x, y, z)$
 - Possibilité de « débris »
- Déformation du domaine de bruitage
 - $f(x, y, z) + DN(x, y, z)$
 - Pas de « débris »



Lancer de rayons

- Rayon paramétrique
 - $\mathbf{r}(t) = \mathbf{o} + t\mathbf{d}$
 - Point d'origine \mathbf{o}
 - Direction (unitaire) \mathbf{d}
- Résolution implicite sur le rayon
 - $F(t) = f(\mathbf{r}(t))$
 - Fonction réelle à une variable
 - Recherche de racine de F



Recherche de racine

- Surfaces algébriques
 - DesCartes [Hanrahan S'84]
- Surfaces de Lipschitz
 - LG-Surfaces [Kalra & Barr S'89]
 - Sphere Tracing [Hart 96]
- Surfaces quelconques
 - Arithmétique par interval [Mitchell 89]
 - Incrémental (marching) [Perlin & Hoffert 89]

Polygonalisation

- Conversion d'une surface implicite vers maillage
- Visualisation utilise polygones
- approximation
- Deux étapes
 - Partition de l'espace en cellules
 - Approximation polygonale locale à chaque cellule

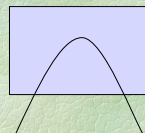
Partitionnement spatial

- Division de l'espace en reseau de cellules
 - Cubes
 - Tetrahedres
 - Adaptatif
- Trois techniques
 - Enumeration (toutes les cellules)
 - Subdivision (octree, k-d tree)
 - Surface tracking (à partir d'un point de départ)

Critère de subdivision

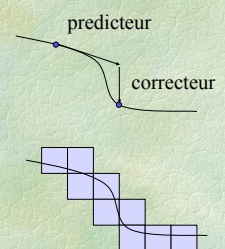
Comment savoir que la surface passe dans une cellule donnée?

- Cellules d'intersections
 - Au moins un sommet à l'extérieur, et un sommet intérieur
 - Condition suffisante mais non-nécessaire
- Critères théoriques
 - Analyse par interval
 - Conditions de Lipschitz



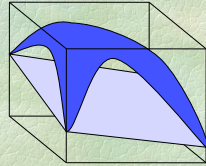
Techniques de tracking

- Prediction-correction
 - Extrapolation sur la tangente
 - Calcul de la position de la surface
- Approximation linéaire
 - On suit les faces des cubes
 - Traitement en file plutôt qu'en pile



Polygonalisation d'une cellule

- Cellule contient un bout de la surface
- Approximation à l'intérieur de cette cellule
- Approximation linéaire par morceaux (polygone)

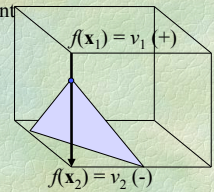


Calcul des sommets de la surface

- On détermine sur quelle arête la surface intersecte la cellule
- Interpolation pour déterminer le point d'intersection
- Ou bien recherche numérique de la racine $f(r(t))$

$$\mathbf{r}(t) = \mathbf{x}_1 + t(\mathbf{x}_2 - \mathbf{x}_1)$$

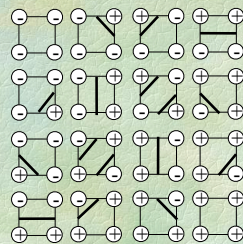
$$0 \leq t \leq 1$$



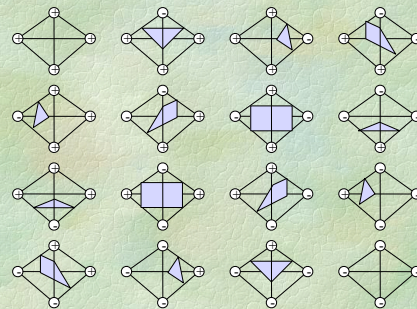
$$\mathbf{x} = \frac{v_1}{v_1 + v_2} \mathbf{x}_1 + \frac{v_2}{v_1 + v_2} \mathbf{x}_2$$

Type de polygone

- Table de référence indexée par les états binaires des sommets
- On affecte arbitrairement + à 1, - à 0
- Taille indicative de la table
 - Cellules tétraédriques: 16 entrées
 - Cellules cubiques: 256 entrées
- Ex: 2-D - 16 cellules carrées

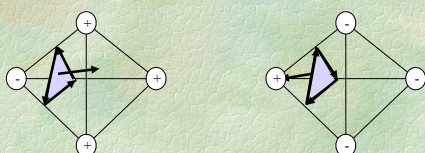
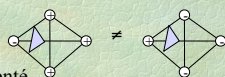


Polygones de cellules tétraédriques



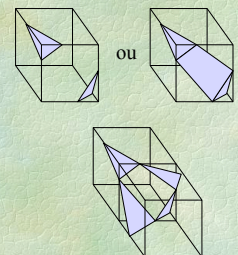
Orientation

- Chaque polygone peut être orienté localement
- Backface culling éventuellement



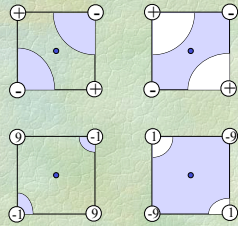
Probleme: ambiguïté

- Certaines configurations de cellules peuvent générer plusieurs configurations polygonales possibles
- Seulement pour cubes, pas pour tétraèdres
- Peut générer trous en 3D dans la surface
- Comment résoudre les ambiguïtés?



Argument topologique

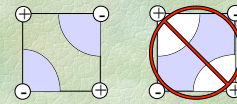
- Échantillonnage d'un point sur la face ambiguë
- En cas d'échantillonnage discret, interpolation bilinéaire



$$p(s,t) = (1-s)(1-t)a + s(1-t)b + (1-s)tc + std$$

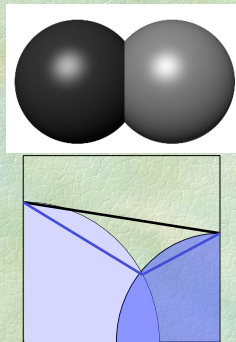
Preference

- Suppose qu'une ambiguïté est toujours levée par la même configuration + (ou -)
- Preference peut être codée en dur dans la table



Polygonalisation CSG

- Une polygolisation brutale peut absorber les aretes créées par l'arbre CSG
- Création d'arêtes vives « en force »



Subdivision

- Quand il y a un doute
- Division en sous-cubes
 - Ambiguïté potentiellement non-résolue
- En tetrahedres
 - Peut servir de cellule de base

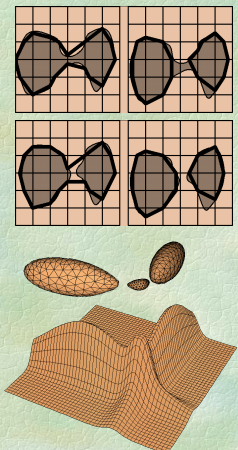
Systemes à particules

- Witkin Heckbert Siggraph 94
- Maintien de particules sur la surface par le biais d'une contrainte
- Les particules exercent sur les autres des forces de répulsion pour s'écarter les unes des autres
- Les particules se divisent pour remplir les trous
- Les particules fusionnent si sur-population
- Chaque particule est visualisée comme un disque orienté
- Représentation par point (*surfel*)

Using Particles
to
Sample and Control
Implicit Surfaces

Maillage particulaire

- Stander Hart Siggraph 97
- Maintien de la cohérence topologique
- Lien entre le maillage et l'objet implicite
- questions:
 - Quels sommets doivent être reliés?
 - Comment lier les sommets si la surface évolue dans le temps?
- Solution: théorie de morse
- Recherche et mise à jour des points critiques de la fonction pour repérer les changements topologiques



Shrinkwrapping

- Examen des surfaces $f^{-1}(s)$ for $s > 0$
- Pour s grand, $f^{-1}(s)$ "à peu près" sphériques
- Polygonalisation de cette surface
- Réduction itérative de la surface jusqu'au zéro
 - Suivi de la surface par les points
 - Subdivision des polygones quand la courbure locale augmente
 - Repérage des points critiques si besoin

